

오갈피나무의 정유성분 GC-MS 분석

임순성 · 이연실 · 이설림¹ · 김종기¹ · 조선행² · 신국현³ · 이상현^{1,*}

한림대학교 식품영양학과, ¹중앙대학교 식물응용과학과, ²공주교육대학교, ³한국과학기술정보연구원

GC-MS Analysis of Volatile Constituents from *Acanthopanax sessiliflorus*

Soon Sung Lim, Yeon Sil Lee, Sullim Lee¹, JongKee Kim¹, Seon Haeng Cho²,
Kuk Hyun Shin³, and Sanghyun Lee^{1,*}

¹Department of Food Science and Nutrition, Hallym University, Chuncheon 200-702, Korea

¹Department of Applied Plant Science, Chung-Ang University, Anseong 456-756, Korea

²Gongju National University of Education, Gongju 314-711, Korea

³Korea Institute of Science and Technology Information, Seoul 130-741, Korea

Abstract – The chemical composition of the volatile constituents from the leaves, stems, and roots of *Acanthopanax sessiliflorus* growing wild in Mt. Deok-Yu was determined by GC and GC-MS spectrometric analysis with the aid of NBS, Wiley Library and RI indice searches. The major constituents identified were δ -3-carene (7.24%), limonene (8.10%), β -thujene (17.85%), *trans*-bicyclic hydrocarbon (13.35%) and δ -cadinene (4.28%) in the leaves from one year-grown plants, tricyclene (7.21%), β -myrcene (7.62%), limonene (10.23%), β -thujene (15.61%) and dihydroodulan I (6.12%) in the leaves from three years-grown plants, δ -3-carene (4.96%), limonene (5.93%), β -phellandrene (17.31%) and naphthalene (7.79%) in the stems from one year-grown plants, α -pinene (5.21%), limonene (5.12%) and β -phellandrene (9.82%) in the stems from three years-grown plants, α -pinene (12.73%), β -pinene (11.16%), δ -3-carene (6.16%) and γ -cadinene (23.39%) in the roots from one year-grown plants, and α -pinene (17.25%), β -pinene (9.35%), δ -3-carene (7.26%) and γ -cadinene (17.95%) in the roots from three years-grown plants.

Key words – volatile constituent, GC, GC-MS, *Acanthopanax sessiliflorus*

천연향료의 원료인 정유(essential oil)는 식물에서 채취한 방향성의 휘발성 유기로, 식물에 따라 독특한 향기와 향미를 나타내는 식물 이차대사산물이다. 특히 한국에 자생하는 방향성 식물 중 아직 그 정유성분 연구가 뚜렷이 되어 있지 않은 오갈피나무에 대한 정유성분을 확인하였다. 오갈피나무는 두릅나무과(Araliaceae)에 속하며, 생약으로는 오갈피(*Acanthopanacis Cortex*)라 하여 잎, 수피 또는 근피를 사용한다.¹⁾ 그리고 오갈피나무의 다양한 활성²⁻⁴⁾과 성분연구⁵⁻⁸⁾ 및 분석⁹⁾에 대한 연구가 진행되었다.

오갈피나무의 정유성분 분석결과의 하나로 지난번에 보고된 가시오갈피나무 연구¹⁰⁾에 이어 본 연구는 한국에 자생하는 오갈피나무의 1년생 및 3년생 각 부위별 정유성분에 대한 pattern 분석, 추출률 및 성분조성 등을 구명하였다.

재료 및 방법

식물재료 – 식물재료로 사용된 오갈피나무(*Acanthopanax sessiliflorus*)는 덕유산에서 채집되었으며, 각 1년생 및 3년생 오갈피나무의 잎, 줄기, 뿌리를 정유성분 분석재료로 사용하였다.

시약 및 기기 – 추출용매는 주로 덕산 약품의 공업용을 종류 및 정제하여 사용하였고, TLC용 용매와 확인시약 등은 일급 또는 특급 시약을 사용하였다. TLC 및 preparative TLC용 silica gel은 precoated Kiesel-gel 60F₂₅₄ plate (Merck Art. 5715)를 사용하였다. 정유의 표준물 150여종은 Carl Roth로 부터 구입하여 사용하였으며, 그 외의 시약은 특급 또는 일급 시약을 Sigma 또는 Disco 등에서 구입하여 사용하였다.

정유추출은 mantle heater가 장착된 Karlsruher 장치를, gas chromatography(GC)는 도남 시스템의 DS 6200 gas

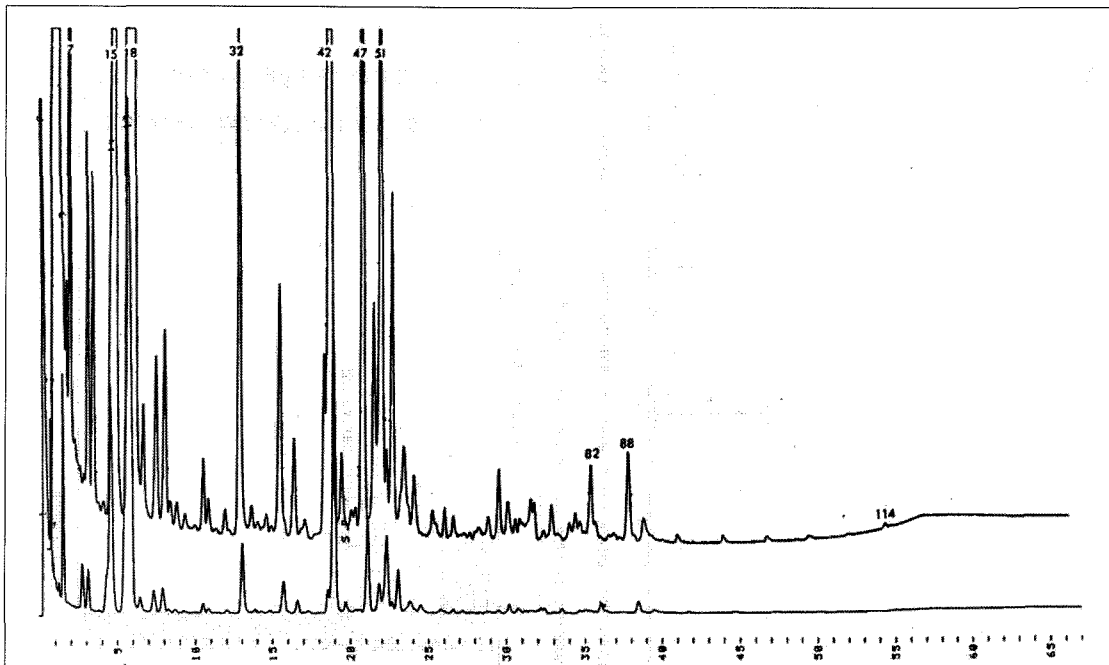
*교신저자(E-mail): slege@cau.ac.kr
(FAX): 031-676-4686

chromatography(Hitachi, D-2500 chromatograph integrator 부착)를 사용하였고, column은 Supelco Wax 10 ($30\text{ m} \times 0.52\text{ mm} \times 1.0\text{ }\mu\text{m}$) fused silica capillary column을 사용하였다. GC-MS는 Hewlett-Packard(HP) 5890 II와 open slit HP 5988을 사용하였으며, GC column은 FFAP($50\text{ m} \times 0.2\text{ mm} \times$

0.33 mm) fused silica capillary column을 사용하였다.

정유성분의 추출 – 채집한 식물부위를 세절하고 Karlsruher 장치의 2 L 및 5 L용 flask에 넣고 증류수를 $500\text{ mL}\cdot 1\text{ L}$ 가한 후 7-9시간 가열하여 수증기 증류를 실시하였다. 생성된 정유성분은 diethylether에 포집하고 무수황산나트륨으로 털

(A)



(B)

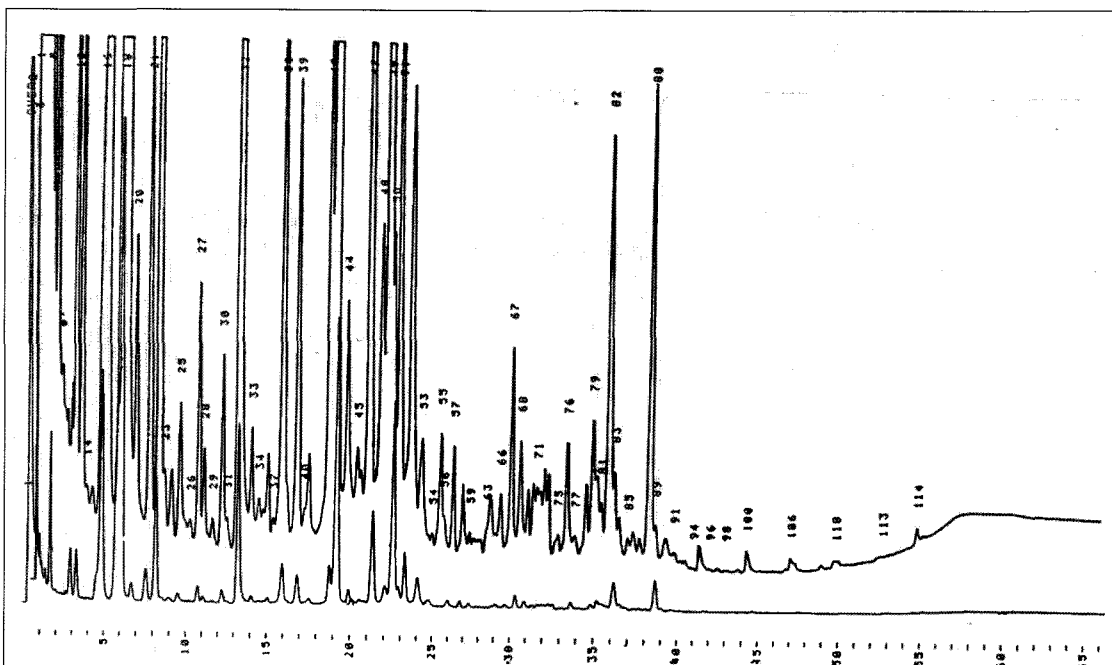


Fig. 1. GC chromatograms of volatile constituents of the leaves from one year- (A) and three years-grown plants (B) of *A. sessiliflorus*.

Table I. Composition of volatile constituents of the leaves from one year- (1) and three years-grown plants (3) of *A. sessiliflorus*

Peak No.	t_R^*	Constituents (M^\dagger)	Fragments		Peak Area (%)	
			1	3	1	3
3	0.99	trycyclene (136)	93	91	3.24	7.21
4	1.00	α -pinene (136)	93	91	-	0.23
7	1.19	β -pinene (136)	93	91	1.00	1.42
9	1.21	sabinene (136)	93	91	1.09	0.12
10	1.22	ethylbenzene (106)	91	106	-	0.31
12	1.25	1-penten-3-ol (86)	57	91	-	0.05
13	1.28	δ -3-carene (136)	93	69	7.24	2.83
17°	1.29	β -myrcene (136)	93	41	-	7.62
17°	1.31	α -phellandrene (136)	93	91	1.61	3.12
18°	1.33	α -terpinolene (136)	93	121	0.12	0.23
18°	1.38	limonene (136)	68	67	8.10	10.32
19	1.40	β -thujene (136)	93	91	17.85	15.61
21	1.42	β -phellandrene (136)	93	91	0.79	1.21
22°	1.45	<i>t</i> -ocimene (136)	93	91	1.09	3.12
22°	1.49	1-hexanol (102)	43	56	-	0.52
23	1.50	1-methyl-3-(1-methylethyl)benzene (134)	119	134	0.10	0.73
24°	1.53	phellandrene (136)	93	121	0.22	0.29
24°	1.53	octanal (128)	41	43	-	0.88
25°	1.55	(E)-2-penten-1-ol (86)	57	68	0.11	0.72
25°	1.56	(Z)-3-hexen-1-ol acetate (142)	67	43	0.37	1.27
26°	1.60	M 152	56	55	0.15	0.02
26°	1.63	tetrahydro-3-methyl-4-methylenefuran (98)	41	67	-	0.09
27°	1.66	(Z)-3-hexen-1-ol (100)	67	41	2.25	1.88
27°	1.67	3,7-dimethyl(allo)1,3,6-octatriene (136)	121	91	-	0.43
28°	1.69	(E)-3-hexen-1-ol (100)	57	41	0.09	0.42
28°	1.70	fenchone (152)	41	67	-	0.03
29°	1.79	4-ethyl-1,2-dimethylbenzene (134)	91	119	-	0.22
29°	1.80	(E)-3-hexenylbutanoic acid (170)	67	82	-	0.02
29°	1.82	2-furancarboxaldehyde (96)	95	96	0.15	0.03
30	1.84	δ -elemene (204)	121	93	0.12	0.21
31	1.86	2,5,5-trimethyl-1,3,6-heptatriene (136)	121	93	0.27	0.75
32°	1.90	dihydroedulan (194)	179	69	2.48	6.12
32°	1.90	linalool (154)	71	93	0.12	0.32
34°	1.94	β -bourbonene (204)	81	80	0.65	0.02
34°	1.94	M 194	179	69	-	2.85
35°	1.96	β -cubebene (204)	161	105	-	0.03
35°	1.96	menthon (154)	43	79	0.26	0.09
35°	1.97	1,3,7,7-tetramethyl-2-oxabicyclo[4.4.0]decene (134)	138	82	-	0.12
36	1.99	4-ethyl-1,2-dimethylbenzene (134)	43	119	0.19	0.42
37°	2.01	2-methyl-6-methylene-3,7-octadiene-2-ol (152)	43	57	-	0.03
38	2.01	M 204	93	81	-	0.05
39	2.03	M 162	71	93	1.37	-
40°	2.04	β -elemene (204)	81	93	-	2.82
41°	2.06	cis-sabinene hydrate (154)	43	139	-	0.04
41°	2.06	dihydroedulan (194)	179	107	-	0.52
42°	2.07	trans-caryophyllene (204)	91	92	-	1.12
43°	2.08	trans-bicyclic hydrocarbon (204)	91	79	13.35	2.32
43°	2.09	trans-caryophyllene (204)	69	41	0.10	9.52
43°	2.09	M 205	91	105	-	0.09
43°	2.10	α -cubebene (204)	161	91	-	0.02
44°	2.11	trans-carveol (159)	84	109	-	0.12
44°	2.11	γ -cadinene (204)	91	41	1.62	0.79

Table I. Continued

Peak No.	t _R [*]	Constituents (M ⁺)	Fragments		Peak Area (%)
			1	3	
45°	2.13	M 205	59	93	- 0.04
46°	2.14	<i>l</i> -α-terpineol (154)	109	43	- 0.08
46°	2.15	myrtenylacetate (194)	91	43	- 0.09
46°	2.16	1-hydroxymethyl-1,2,3-trimethyl-2-cyclopentene (140)	109	96	- 0.09
46°	2.16	β-selinene (204)	93	80	- 0.07
47°	2.17	M 204	105	161	- 0.32
47°	2.18	α-humulene (204)	93	121	1.17 -
48°	2.18	<i>trans</i> - <i>p</i> -menth-2-en-1,8-diol (170)	59	94	- 0.02
48°	2.19	M 204	93	119	5.31 1.27
49°	2.20	<i>cis</i> - <i>p</i> -mentha-6,8-dienol acetate (194)	119	109	- 5.23
49°	2.20	<i>cis</i> -piperitol (154)	84	83	- 0.05
50°	2.22	M 204	93	41	0.24 0.91
50°	2.23	2-isopropyl-5-methylbicyclo[4,4,0]dec-1-en (204)	161	105	- 0.04
50°	2.23	<i>trans</i> -3-caren-2-ol (152)	109	79	- 0.05
50°	2.24	M 204	93	107	- 1.10
51°	2.25	δ-cadinene (204)	161	119	4.28 2.54
52°	2.27	longipinene (204)	93	119	0.23 0.06
52°	2.28	M 204	69	41	- 0.07
52°	2.28	2-isobutetyl-tricycloheptane (204)	161	105	1.27 1.25
53°	2.30	6-methyl-2-methyl-bicycloheptane (204)	43	119	0.49 0.27
54	2.31	β-damascenone (190)	69	121	- 0.05
55	2.34	M 204	189	204	- 0.05
56	2.37	(1,1-dimethylethyl)benzene (134)	119	134	0.17 0.17
57	2.37	M 161	79	108	0.19 0.02
58	2.39	M 204	107	135	0.15 0.12
59	2.42	4-ethyl-1,2-dimethylbenzene (134)	119	121	0.13 -
60	2.42	2,6-bis(1,1-dimethylethyl)-4-methylphenol (220)	205	220	- 0.09
63	2.47	M 204	41	69	- 0.04
64	2.50	10-(acetylmethyl)-(+)3-carene (192)	43	91	0.09 0.07
67	2.59	2-methyl-4-guinolinol (192)	43	159	- 0.04
69	2.60	M 207	69	41	0.46 0.15
70°	2.62	tetramethylbenzene (134)	119	120	0.25 -
70°	2.62	farnesol (204)	69	93	- 0.08
70°	2.63	M 204	43	149	- 0.07
71°	2.66	M 220	41	79	0.24 0.32
71°	2.68	(-)caryophyllene oxide (220)	43	119	0.20 0.09
72°	2.70	M 220	92	91	- 0.04
72°	2.71	undecylbenzene (232)	55	91	0.91 -
72°	2.71	M 204	107	43	- 0.55
72°	2.71	2-propenylbenzene propanoic acid (190)	91	43	0.91 -
73°	2.76	M 204	41	79	- 0.55
73°	2.76	M 204	43	119	0.95 -
74°	2.78	naphthalene (204)	92	91	- 0.02
74°	2.79	α-copaene (204)	43	81	3.76 -
75°	2.80	globulol (222)	91	41	- 0.12
76°	2.82	isocaryophyllene (204)	94	41	- 0.54
77	2.84	caryophyllene oxide (220)	43	109	0.35 0.08
79°	2.87	veridifloral (222)	149	59	- 0.04
79°	2.87	2-(1,1-dimethylethyl)-5-methylphenol (164)	43	57	- 0.02
80°	2.89	6,10,14-trimethyl-2-pentadecanone (268)	43	91	0.34 0.22
81°	2.96	spathulenol (220)	57	43	0.19 0.08
81°	2.96	docosane (310)	161	204	- 0.08
82°	2.98	2-isopropyl-5-methyl-dec-1-en (204)	95	43	0.31 0.12

Table I. Continued

Peak No.	t_R^*	Constituents (M^+)	Fragments		Peak Area (%)	
			1	3	1	3
83	3.01	tetracosahexaene (410)	161	43	0.21	0.11
84°	3.02	naphthalene derivative (204)	123	79	0.17	0.09
84°	3.02	α -bisabolene (204)	43	69	0.27	0.07
86°	3.07	epoxymethanotetramethylhydrocarbon (236)	95	121	-	0.29
86°	3.08	α -cadinol (222)	43	91	0.62	-
87°	3.13	epoxyhydrocarbon (220)	43	81	0.26	0.08
88	3.23	5-azulenemethanol (222)	69	41	0.96	-
90	3.34	trans-farnesol (222)	91	43	-	1.32
100	3.53	(8 β ,13 β)kaur-16-ene (272)	91	41	0.67	0.72
125	3.82	tetramethyl-2-hexadecenol (296)	71	123	0.24	0.35
Known compounds					82.49	93.77
Unknown compounds					17.51	6.23

*Retention times relative to α -pinene.

°Peaks overlapped.

수여과한 다음 40°C 이하에서 감압증류하여 용매를 제거하거나 적절한 농도로 농축하여 기밀 vial에 넣어 냉장고(-40°C)에 보관하였다.

정유성분의 분석방법 – 분리된 각 식물재료의 정유성분 조성과 그 함량비를 추적하기 위하여 다음과 같은 조건 하에서 GC를 실시하였으며, 추출한 정유시료를 유기용매를 제거한 상태(neat)로 만든 후 prep-TLC를 실시하여 극성별로 3등분으로 분획함으로서 GC상에서 겹치는 peak들이 없도록 분획한 것을 다시 diethylether로 추출하고 GC-MS로 측정하여 각각의 total ion chromatogram을 얻은 후 NBS library에 의하여 비교하거나 표준품의 GC에서의 retention time이나 문현상에 보고된 그것과 비교하여 정유성분을 동정하였다.

TLC 및 prep-TLC 조건: Kiesel-gel 60 F₂₅₄에 정유성분을 점적하고 toluene : ethylacetate = 97 : 3으로 전개한 다음 vanillin-sulfuric acid reagent를 분무한 후 100°C에서 3분간 가열하여 발색시켰다.¹¹⁾

GC-MS 조건: 질량분석기에 장착된 GC column에 시료를 주입하고 oven 온도를 40°C에서 4분간 유지 후 10°C/min으로 240°C까지 상승시켰다. Injector의 온도는 200°C, detector의 온도는 240°C로 하였으며, carrier gas는 He으로 하고 유속을 0.5 mL/min으로 하였다. EI의 조건은 ionization energy 70 eV, source temp. 250°C, trap current 300 uA로 하였다.

GC 조건: 분리한 정유성분 혼합액을 1-4 μ l씩 column에 주입하고 50°C에서 5분간 유지한 후 110°C 까지 3°C/min으로 oven 온도를 승온한 다음 10분간 유지하고 다시 4°C/min으로 220°C까지 승온한 다음 20분간 유지하였다. 이때 injector 및 detector(FID)의 온도는 270°C로 하였고, carrier gas는 He을 사용하여 유속을 0.5 mL/min으로 하였다.

결과 및 고찰

채집한 오갈피나무에서 추출한 정유성분의 GC chromatogram을 얻었으며, 또한 정유성분의 조성과 개별성분들의 화학구조 구명을 prep-TLC, GC-MS 및 library search 등에 의하여 실시하였다.^{12,13)}

오갈피나무의 1년생 및 3년생 잎 – 오갈피나무의 1년생 잎 0.29 kg으로부터 추출한 정유의 수득률은 0.072%이었다. Fig. 1(A)에서 보는 바와 같이 gas chromatogram상에서 약 88종의 peak들을 관찰할 수 있었다. 그 성분들의 구조와 조성을 분석한 결과 52종의 정유성분들이 확인되었다(Table I). 각 성분들의 부류별 조성으로 terpenoid류는 63.63%, aromatic과 heterocyclic compound류는 0.67%, aliphatic compound류는 3.80%로 밝혀졌다.

오갈피나무의 3년생 잎 0.72 kg으로부터 추출한 정유의 수득률은 0.082%이었다. Fig. 1(B)에서 보는 바와 같이 gas chromatogram상에서 약 92종의 peak들을 관찰할 수 있었다. 그 성분들의 구조와 조성을 분석한 결과 99종의 정유성분들이 확인되었다(Table I). 각 성분들의 부류별 조성으로 terpenoid류는 73.12%, aromatic과 heterocyclic compound류는 1.69%, aliphatic compound류는 14.36%로 밝혀졌다.

오갈피나무의 1년생 및 3년생 줄기 – 오갈피나무의 1년생 줄기 0.27 kg으로부터 추출한 정유의 수득률은 0.12%이었다. Fig. 2(A)에서 보는 바와 같이 gas chromatogram상에서 약 77종의 peak들을 관찰할 수 있었다. 그 성분들의 구조와 조성을 분석한 결과 29종의 정유성분들이 확인되었다(Table II). 각 성분들의 부류별 조성으로 terpenoid류는 48.67%, aromatic과 heterocyclic compound류는 8.46%, aliphatic compound류는 2.02%로 밝혀졌다.

오갈피나무의 3년생 줄기 0.76 kg으로부터 추출한 정유

의 수특률은 0.16%이었다. Fig. 2(B)에서 보는 바와 같이 gas chromatogram상에서 약 94종의 peak들을 관찰할 수 있었다. 그 성분들의 구조와 조성을 분석한 결과 63종의 정유성분들이 확인되었다(Table II). 각 성분들의 부류별 조성으

로 terpenoid류는 33.34%, aromatic과 heterocyclic compound류는 2.57%, aliphatic compound류는 10.14%로 밝혀졌다.

오갈피나무의 1년생 및 3년생 뿌리 – 오갈피나무의 1년

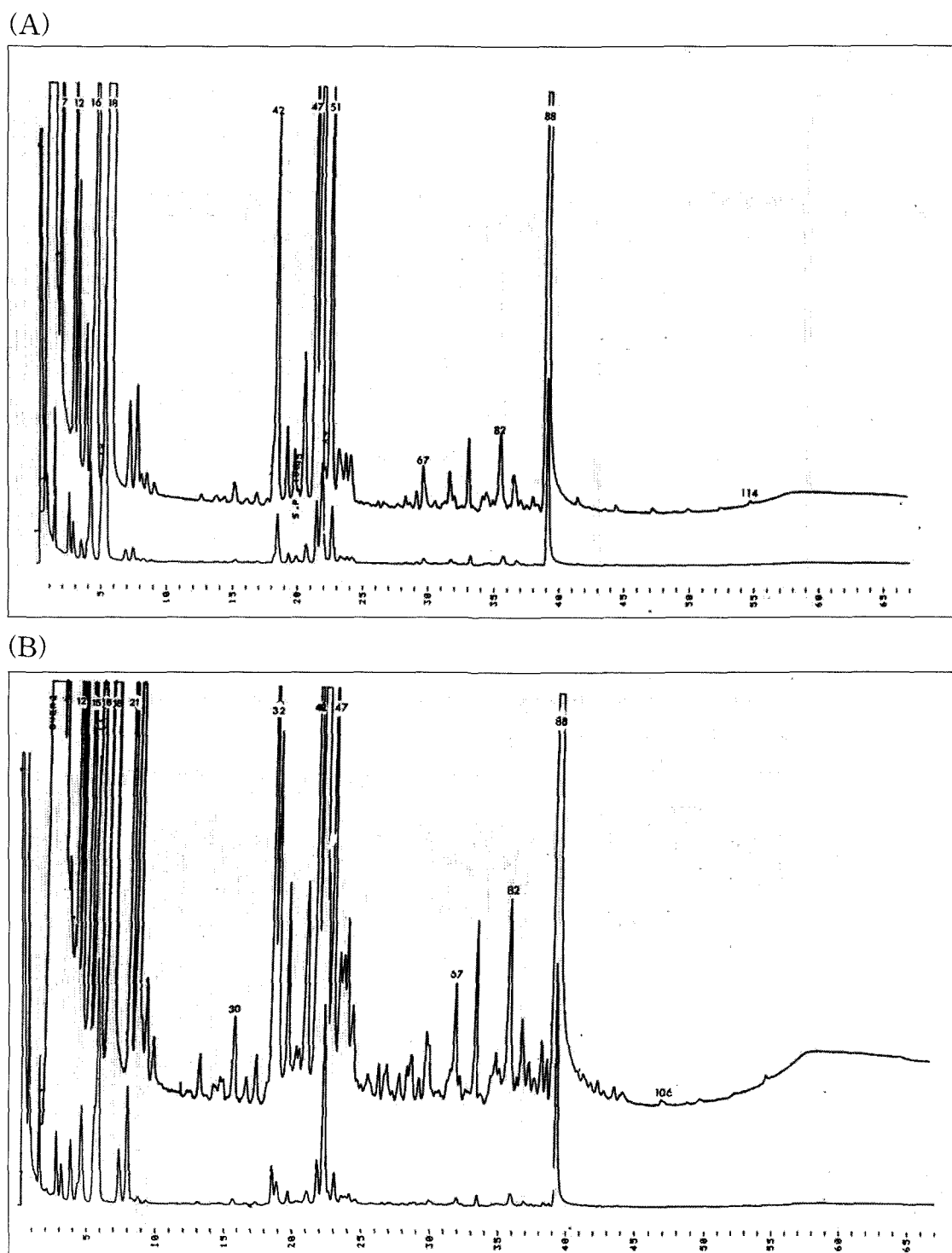


Fig. 2. GC chromatograms of volatile constituents of the stems from one year- (A) and three years-grown plants (B) of *A. sessiliflorus*.

Table II. Composition of volatile constituents of the stems from one year- (**1**) and three years-grown plants (**3**) of *A. sessiliflorus*

Peak No.	<i>t</i> _R [*]	Constituents (M [†])	Fragments		Peak Area (%)	
			1	3	1	3
7	1.00	α-pinene (136)	93	91	3.20	5.21
8	1.19	β-pinene (136)	93	69	2.18	0.25
10	1.21	sabinene (136)	93	91	1.35	0.31
11	1.23	ethylbenzene (106)	91	106	-	2.01
12	1.28	α-phellandrene (136)	93	91	0.81	2.00
13	1.29	δ-3-carene (136)	93	69	4.96	2.32
14	1.31	α-phellandrene (136)	93	91	1.14	0.72
15	1.34	α-terpinolene (136)	93	91	-	0.14
16	1.38	limonene (136)	68	93	5.93	5.12
18	1.40	β-phellandrene (136)	93	91	17.31	9.82
20	1.42	<i>t</i> -ocimene (136)	93	91	0.72	1.92
21	1.46	α-terpinolene (136)	93	91	1.15	5.84
22	1.51	1-methyl-3-(1-methylethyl)benzene (134)	119	134	0.13	0.06
23	1.53	phellandrene (136)	93	121	0.28	0.25
24	1.53	octanal (128)	41	43	-	0.12
25	1.66	(Z)-3-hexen-1-ol (100)	67	41	-	0.02
26	1.67	3,7-dimethyl(alloccimen)1,3,6-octatriene (136)	121	105	-	0.03
32	1.69	1,3,5-hexatriene (80)	79	80	-	0.05
38	1.79	4-ethyl-1,2-dimethylbenzene (134)	91	119	-	0.05
39	1.80	M 167	71	43	-	0.03
42	1.84	M 152	137	109	-	0.02
43	1.84	1-(methylphenyl)-3-buten-1-ol (162)	91	105	-	0.06
45	1.87	δ-elemene (204)	121	93	0.53	0.12
51	1.90	dihydroedulan (194)	179	69	0.37	0.08
52	1.90	M 204	119	105	-	0.07
55	1.90	linalool (154)	71	43	-	0.32
56°	1.94	benzaldehyde (106)	77	105	-	0.05
56°	1.94	β-bourbonene (204)	81	80	-	0.07
57	1.96	β-cubebene (204)	161	105	0.19	0.07
58	1.96	menthon (154)	43	79	-	0.08
59°	1.99	4-ethyl-1,2-dimethylbenzene (134)	119	43	-	0.10
59°	2.01	M 204	93	67	0.17	-
60	2.01	2-methyl-6-methylene-3,7-octadiene-2-ol (152)	43	79	-	0.02
62	2.03	4-methyl-1-(1-methylethyl)-3-cyclohexane-1-ol (154)	71	93	1.07	0.10
63°	2.06	cis-sabinene hydrate (154)	43	139	0.22	0.06
63°	2.07	M 204	91	93	4.35	0.10
63°	2.10	M 138	43	69	-	0.05
64°	2.11	M 204	69	93	4.30	0.06
64°	2.12	M 152	91	43	-	0.08
64°	2.12	bicyclo[2.4]hepta-2,6-diene (92)	91	92	-	0.02
64°	2.12	trans-caryophyllene (204)	69	41	-	1.02
65°	2.13	α-cubebene (204)	91	161	0.70	0.07
65°	2.14	trans-carveol (154)	84	109	-	0.06
66°	2.15	<i>l</i> -α-terpineol (154)	109	43	-	0.07
66°	2.15	mytenylacetate (194)	91	105	-	0.24
67°	2.17	1-methyl-3-(1-methylethyl)cyclohexene (138)	59	93	-	0.06
68°	2.18	(+)-isobicyclogermacrene (204)	91	119	4.36	0.27
68°	2.19	α-zingibirene (204)	93	119	0.73	1.01
68°	2.19	methylsalicylate (152)	96	95	-	0.07
68°	2.20	M 204	69	93	-	0.03
69°	2.23	cis-p-mentha-6,8-dienolacetate (194)	119	109	-	0.05
69°	2.24	cis-piperitol	84	41	-	0.02

Table II. Cotinued.

Peak No.	t_R^*	Constituents (M^+)	Fragments		Peak Area (%)	
			1	3	1	3
69°	2.24	naphthalene (204)	91	105	7.79	-
69°	2.24	geranylacetate (204)	69	41	-	1.52
70	2.26	2-isopropyl-5-methylbicyclo[4,4,0]dec-1-en (204)	161	91	-	8.54
71	2.27	phellandral (152)	109	81	-	0.03
72	2.27	farnesene (204)	93	107	3.18	-
73	2.29	M 204	93	43	0.52	0.32
74°	2.29	germacrene B (204)	121	93	-	1.25
75	2.32	δ-cadinene (204)	161	91	-	0.03
76°	2.47	nonadecane (268)	57	43	-	0.05
76°	2.50	2,6-bis(1,1-dimethylethyl)-4-methylphenol (220)	205	220	0.20	0.31
79	2.58	M 207	43	161	-	0.05
80	2.60	M 179	91	102	-	0.07
82	2.68	M 204	69	93	0.24	0.10
84	2.70	(-)caryophylleneoxide (220)	41	82	-	0.03
85	2.71	tetrahydrobenzodiazepine (162)	43	91	0.34	-
86	2.71	M 205	79	41	-	0.11
87	2.77	undecylbenzene (232)	92	91	-	0.02
89	2.80	M 296	57	71	-	0.03
92	2.80	α-copaene (204)	43	91	-	0.10
95	2.81	M 220	67	43	-	0.09
96	2.82	isolongifolene (222)	109	41	0.35	-
97	2.82	M 207	81	43	-	0.11
98	2.84	α-sinensal (218)	43	41	0.77	0.07
101	2.89	(-)caryophylleneoxide (220)	43	91	-	0.39
104	2.97	2-isopropyl-5-methyl-dec-1-en (204)	161	189	-	0.12
104	2.97	docosane (310)	57	71	0.16	0.12
105	2.99	M 342	95	121	0.20	0.14
106	3.01	M 204	105	161	0.22	0.16
108	3.03	M 316	109	120	0.27	0.13
109	3.06	M 220	119	91	0.25	0.11
110°	3.08	α-cadinol (222)	95	43	-	0.18
110°	3.08	5-ethyl-3-methyl-3,4-nonadiene-6-yne (162)	69	43	0.99	0.72
113°	3.12	M 385	69	84	0.42	0.25
114	3.24	trans-farnesol (222)	69	41	0.20	0.07
115	3.26	M 222	69	41	27.59	10.29
128	3.53	(8β,13β)kaur-16-ene (272)	91	105	-	0.05
160	3.83	tetramethyl-2-hexadecenol (296)	71	43	-	0.05
216	4.20	tetratriacontane (379)	57	201	0.14	0.04
Known compounds					58.27	54.02
Unknown compounds					41.73	45.98

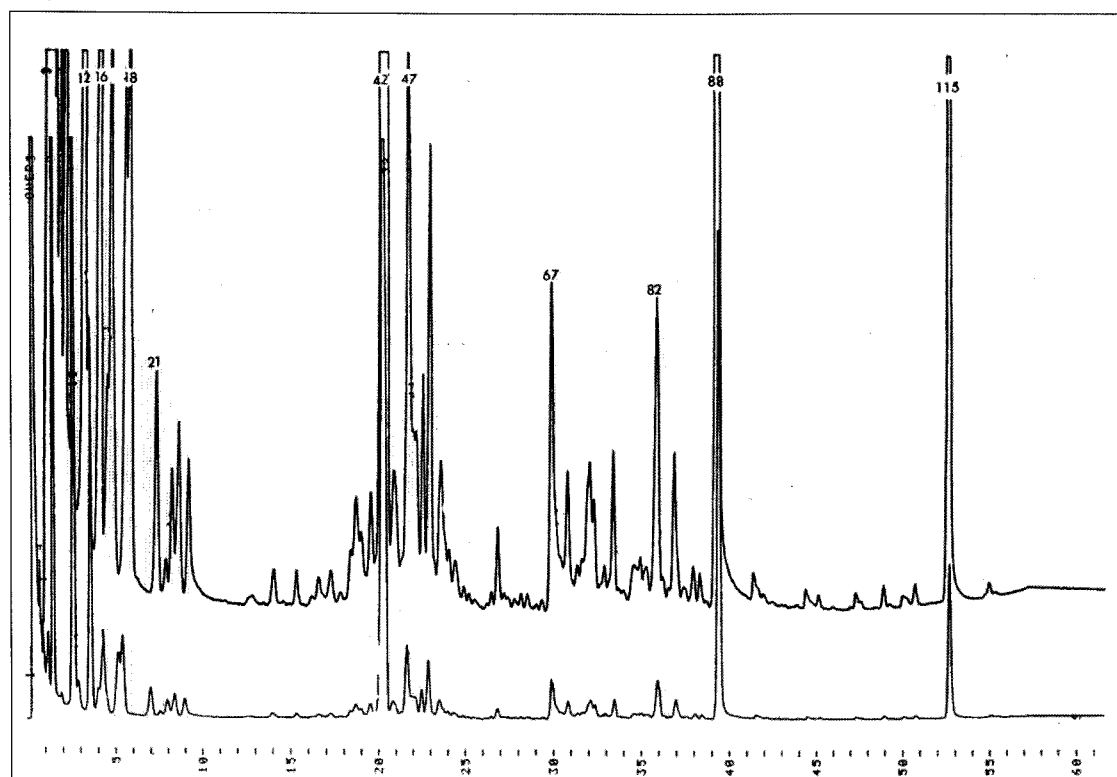
*Retention times relative to α-pinene.

°Peaks overlapped.

생 뿌리 0.46 kg으로부터 추출한 정유의 수득률은 0.17%이었다. Fig. 3(A)에서 보는 바와 같이 gas chromatogram상에서 약 98종의 peak들을 관찰할 수 있었다. 그 성분들의 구조와 조성을 분석한 결과 42종의 정유성분들이 확인되었다 (Table III). 각 성분들의 부류별 조성으로 terpenoid류는 68.35%, aromatic과 heterocyclic compound류는 2.12%, aliphatic compound류는 17.53%로 밝혀졌다.

오갈피나무의 3년생 뿌리 0.80 kg으로부터 추출한 정유의 수득률은 0.19%이었다. Fig. 3(B)에서 보는 바와 같이 gas chromatogram상에서 약 89종의 peak들을 관찰할 수 있었다. 그 성분들의 구조와 조성을 분석한 결과 27종의 정유성분들이 확인되었다 (Table III). 각 성분들의 부류별 조성으로 terpenoid류는 55.84%, aromatic과 heterocyclic compound류는 1.98%, aliphatic compound류는 4.37%로 밝혀졌다.

(A)



(B)

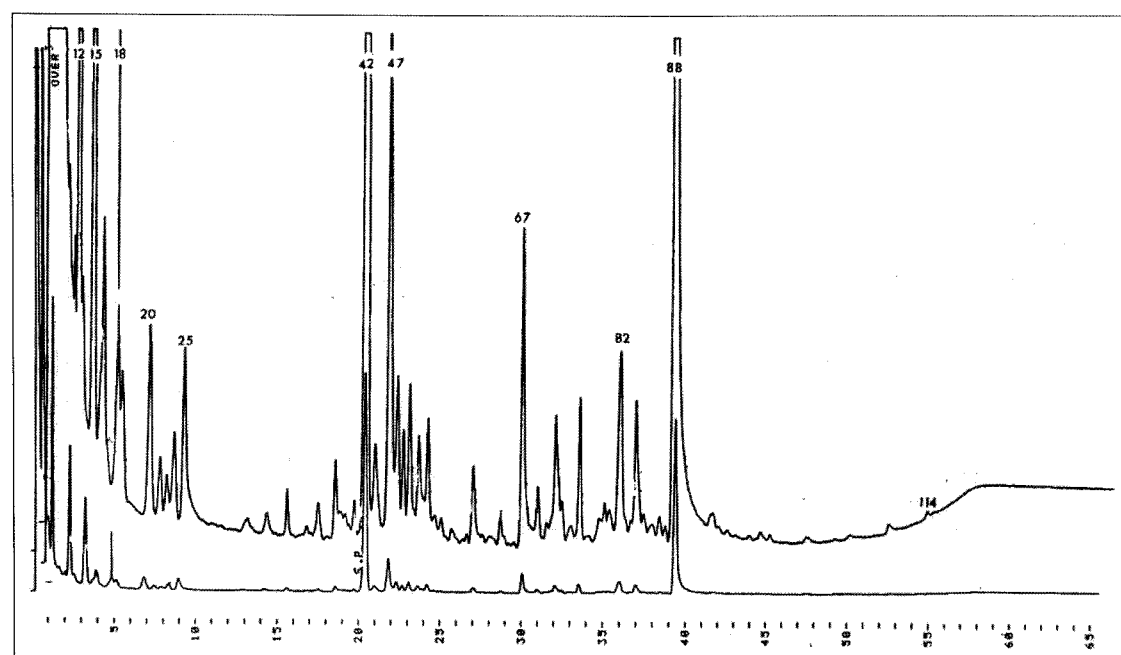


Fig. 3. GC chromatograms of volatile constituents of the roots from one year- (A) and three years-grown plants (B) of *A. sessiliflorus*.

가시오갈피나무의 정유성분¹⁰⁾에서와 마찬가지로 자생 오갈피나무의 부위별 재료에서 추출한 주요 정유성분으로 aromatic, heterocyclic, aliphatic compound 및 terpenoid류의

성분이 확인되었다(Table IV). 오갈피나무에 함유되어 있는 terpenoid류의 hydrocarbon 성분들의 종류와 그 함량을 살펴보면 1년생 잎, 3년생 잎 순으로 각각 18종(62.03%), 28종

Table III. Composition of volatile constituents of the roots from one year- (1) and three years-grown plants (3) of *A. sessiliflorus*

Peak No.	t_R^*	Constituents (M^+)	Fragments		Peak Area (%)	
			1	3	1	3
4	0.68	ethylacetate (88)	43	61	0.15	-
5	0.76	3-methylbutanal (86)	45	41	0.21	-
6	0.83	1-decen-3-yne (136)	79	67	0.15	-
7	0.88	1-methylene-3-(1-methylethylidene)cyclopentane (122)	43	79	0.20	-
8	0.92	tricyclooctan-8-one (150)	79	107	0.64	-
9	1.00	α -pinene (136)	93	91	12.73	17.25
10	1.09	camphene (136)	93	121	0.18	-
11	1.12	M 94	41	56	0.07	-
12	1.18	β -pinene (136)	93	69	11.16	9.35
14°	1.22	ethylbenzene (106)	91	56	0.54	0.84
14°	1.27	δ -3-carene (136)	93	91	6.16	7.26
15	1.28	α -terpinene (136)	93	41	1.60	0.52
16	1.30	α -phellandrene (136)	93	91	0.76	-
17	1.33	α -terpinolene (136)	121	93	0.56	-
18	1.37	limonene (136)	68	67	1.84	0.60
19	1.39	β -thujene (136)	93	91	2.53	0.24
20	1.42	2-pentylfuran (138)	93	91	0.37	0.45
26	1.45	<i>t</i> -ocimene (136)	93	91	0.67	0.22
27	1.50	1-methyl-3-(1-methylethyl)benzene (132)	119	91	0.53	-
28	1.51	M 136	93	121	0.13	-
29	1.53	phellandrene (136)	93	121	1.33	0.32
30	1.53	octanal (128)	41	57	-	3.43
36	1.66	M 136	121	105	0.04	-
42	1.69	M 150	79	80	0.02	-
57	1.74	M 136	69	45	0.02	-
58	1.78	1-methyl-2-(2-propenyl)benzene (132)	117	132	0.05	-
61	1.82	2-furancarboxaldehyde (96)	96	95	0.17	0.05
69	1.84	δ -elemene (204)	121	93	0.33	-
79	1.90	M 161	43	71	0.13	-
80	1.90	linalool (154)	71	93	-	0.09
82	1.94	benzaldehyde (106)	105	106	-	0.21
94	1.95	M 204	43	122	0.48	0.31
95	1.98	methylthymylether (164)	149	164	0.37	-
96	2.01	2-isopropyl-1-methoxy-4-methylbenzene (164)	149	164	0.39	-
98	2.03	4-methyl-1-(1-methylethyl)-3-cyclohexen-1-ol (154)	71	111	0.51	0.05
99	2.05	butenylcyclohexene (136)	43	79	0.23	-
101	2.10	(Z)- β -farnesene (204)	43	69	1.00	0.89
102	2.10	<i>trans</i> -caryophyllene (204)	69	41	-	0.04
104	2.11	β -farnesene (204)	69	93	-	0.24
107	2.11	M 134	91	92	0.83	0.34
108	2.13	M 204	69	41	1.64	-
109°	2.16	γ -cadinene (204)	91	41	23.39	17.95
109°	2.16	1-methyl-3-(1-methylethyl)cyclohexene (138)	59	93	-	0.14
110°	2.23	β -citronellol (156)	69	41	0.17	0.06
111	2.24	2-isopropyl-1-methylbicyclo[4,4,0]dec-1-en (204)	161	91	0.66	0.54
112°	2.28	germacrene B (204)	121	93	1.84	0.48
114	2.28	M 136	43	93	-	0.32
118	2.29	δ -cadinene (204)	161	119	-	0.22
119	2.32	M 204	79	91	0.10	-
120	2.37	M 160	43	135	0.24	0.06
123	2.39	M 159	43	135	-	0.04
126	2.41	M 194	43	69	0.10	0.37

Table III. Continued

Peak No.	t_R^*	Constituents (M^+)	Fragments		Peak Area (%)	
			1	3	1	3
132	2.47	M 127	57	127	0.06	0.07
139	2.50	2,6-bis(1,1-dimethylethyl)-4-methylphenol (220)	205	220	0.07	0.43
140	2.54	M 163	69	109	0.03	0.02
141	2.56	silane like (131)	103	77	0.08	-
142 ^o	2.67	M 204	69	93	0.33	0.13
142 ^o	2.70	hexadecana (240)	41	43	0.49	-
143 ^o	2.76	globulol (222)	43	122	0.57	0.11
143 ^o	2.78	triethyltricyclohexane (164)	107	59	0.32	-
144	2.82	M 430	43	42	0.72	0.11
145 ^o	2.83	M 204	43	69	0.46	0.08
145 ^o	2.86	<i>l</i> - α -terpineol (154)	59	149	0.19	-
146	2.92	cyclopropenazulene-4-ol (222)	43	55	0.09	-
147	2.96	docosane (310)	57	43	-	0.21
149	2.96	M 204	161	43	0.25	0.07
152	2.99	M 430	95	120	-	0.21
153	3.00	M 204	43	161	0.14	0.11
155	3.05	M 220	43	119	0.34	0.11
156	3.07	M 222	95	43	-	0.23
157 ^o	3.07	propanoicbonylester (210)	43	95	0.88	-
157 ^o	3.07	M 222	69	43	0.52	0.59
158	3.10	α -ethenyl-cyclohexenethanol (220)	43	91	0.11	-
159	3.12	M 321	69	84	0.46	2.42
160	3.13	heneicosane (296)	43	57	0.10	-
161	3.16	M 205	69	81	0.09	0.54
162	3.21	7-methyl-3,4-octadiene (124)	67	41	13.96	-
164	3.25	M 222	69	41	0.26	20.12
174	3.33	M 168	43	57	0.05	-
190	3.80	M 204	55	91	-	0.87
276	4.61	acidic compound (244)	55	91	0.17	-
290	4.97	M 257	43	73	0.16	-
Known compounds					74.52	69.97
Unknown compounds					25.48	30.03

^{*}Retention times relative to *a*-pinene.^oPeaks overlapped.

(71.06%)으로 점점 증가함을 알 수 있다. 그러나 줄기의 경우는 1년생 줄기(17종, 47.48%)보다 3년생 줄기(23종, 30.23%)의 hydrocarbon류 화합물의 종류는 증가하였으나, 그 함량은 감소하였다. 그리고 뿌리의 경우도 1년생 뿌리(15종, 66.08%)의 함량이 3년생 뿌리(14종, 55.58%)의 함량 보다 높아 생육함에 따라 휘발성물질이 감소함을 알 수 있었다. 이는 오갈피나무가 성장 할수록 잎의 휘발성물질의

비율이 증가하고 나머지 부위는 오히려 감소함을 시사하고 있다. 가시오갈피나무의 정유성분과 같이 다른 부위에 비해 잎의 휘발성물질의 함량이 많음을 알 수 있었다.¹⁰⁾ 그리고 자생 가시오갈피나무에는 δ -elemene, α -bergamotene, α -pinene 등의 함량이 특히 많은 반면, 오갈피나무에는 *trans*-bicyclic hydrocarbon, β -thujene, β -phellandrene, γ -cadinene, α -pinene 등의 함량이 특히 높았다. 독특한 향기

Table IV. Comparison of volatile constituents from one year- (1) and three years-grown plants (3) of *A. sessiliflorus*

Constituents	Leaves (%)		Stems (%)		Roots (%)	
	1	3	1	3	1	3
Terpenoids	63.63	73.12	48.67	33.34	68.35	55.84
Aromatic and heterocyclic compounds	0.67	1.69	8.46	2.57	2.12	1.98
Aliphatic compounds	3.80	14.36	2.02	10.14	17.53	4.37

와 향미를 갖는 천연정유는 향수, 향미료, 의약품 등 놀라울 만큼 광범위하고 다양한 산업분야에서 응용되고 있다. 따라서 본 연구에 사용된 오갈피나무의 잎, 줄기, 뿌리는 천연정유의 새로운 생약자원 식물소재로서의 가능성을 내포하고 있다.

결 론

자생 오갈피나무의 부위별 재료에서 추출한 주요 정유성 분으로 잎에는 1년생의 경우 δ -3-carene(7.24%), limonene (8.10%), β -thujene(17.85%), *trans*-bicyclic hydrocarbon (13.35%), δ -cadinene(4.28%), 3년생의 경우 tricyclene (7.21%), β -myrcene(7.62%), limonene(10.23%), β -thujene(15.61%), dihydroedulan I(6.12%), 줄기에는 1년생의 경우 δ -3-carene(4.96%), limonene(5.93%), β -phellandrene (17.31%), naphthalene(7.79%), 3년생의 경우 α -pinene (5.21%), limonene(5.12%), β -phellandrene(9.82%), 뿌리에는 1년생의 경우 α -pinene(12.73%), β -pinene(11.16%), δ -3-carene(6.16%), γ -cadinene(23.39%), 3년생의 경우 α -pinene(17.25%), β -pinene(9.35%), δ -3-carene(7.26%), γ -cadinene(17.95%) 등의 성분함량이 높음을 알 수 있었다.

사 사

본 연구는 2007년도 산업자원부 지역혁신센터사업(한림대학교 식의약품 효능평가 및 기능성소재개발센터) 및 경기도 지역협력연구센터사업(중앙대학교 기능성천연물신소재 산업화연구센터)의 지원에 의해 얻은 결과이며, 이에 감사드립니다.

인용문헌

- Yook, C. S. (1999) Colored Medicinal Plants of Korea, 372. Academy Publishing Co., Korea
- Jun, W. J., Seong, H. S., Chun, H., Lim, E. J., Kim, K. I. and Cho, H. Y. (2007) Determination of antioxidative potentials of *Acanthopanax sessiliflorus*

- (Rupr. & Maxim.) Seem. in differentiated HL-60 cells. *Food Chem.* **105**: 1557-1563.
- Lee, P., Lee, S., Choi, S. Y. and Son, D. (2005) Neuroprotective effect of *Acanthopanax sessiliflorus* against toxicity induced by N-methyl-D-aspartate in rat organotypic hippocampal slice culture. *Nat. Prod. Sci.* **11**: 179-182.
 - Chung, K. C., Baek, S. H. and Nam, K. S. (1988) Studies on the antimutagenic effect of *Acanthopanax sessiliflorum* components. *Yakhak Hoeji* **32**: 14-19.
 - Ryoo, H. S., Park, S. Y., Chang, S. Y. and Yook, C. S. (2003) Triterpene components from the leaves of *Acanthopanax sessiliflorus* Seem. *Kor. J. Pharmacogn.* **34**: 269-273.
 - Lee, S., Kim, B.-K., Cho, S. H. and Shin, K. H. (2002) Phytochemical constituents from the fruits of *Acanthopanax sessiliflorus*. *Arch. Pharm. Res.* **25**: 280-284.
 - Kim, C. W. and Kim, S. K. (1987) Studies on the constituents of seeds of *Acanthopanax sessiliflorum* Seemann (I). On fatty acids and sterols. *Kor. J. Pharmacogn.* **18**: 184-187.
 - Yook, C. S., Lee, D. H., Seo, Y. K. and Ryu, K. S. (1977) Study on the constituents in the root bark of *Acanthopanax sessiliflorum* Seemann (II). *Kor. J. Pharmacogn.* **8**: 31-34.
 - Lee, S., Chung, H. S., Shin, K. H. and Kim, B.-K. (2004) Determination of hyperin in *Acanthopanax senticosus* and *A. sessiliflorus* by HPLC. *Yakhak Hoeji* **48**: 231-235.
 - Lim, S. S., Lee, J. M., Park, H. S., Cho, S. H., Shin, K. H. and Lee, S. (2007) GC-MS analysis of volatile constituents from *Acanthopanax senticosus*. *Kor. J. Pharmacogn.* **38**: 327-333.
 - Egon, S. (1973) Thin-Layer Chromatography, 2nd Ed., George Allen & Unwin, 208. Springer-Verlag.
 - McLafferty, F. W. and Stauffer, D. B. (1989) The Wiley/NBS Registry of Mass Spectral Data.
 - Wagner, H., Bladt, S. and Zgainski, E. M. (1984) Plant Drug Analysis, Springer-Verlag.

(2008년 1월 8일 접수)